

石英晶体在基本振荡电路中的 振荡范围*

朱 之 江

提 要

本文用解析的方法分析了石英晶体在基本振荡电路中的振荡范围, 引入临界频率概念, 并证明三种基本振荡电路的振荡频率都在晶体的串联谐振频率与临界频率之间, 而在一般情况下, 不可能振荡在晶体的并联谐振频率上。文中还给出了三种基本振荡电路的振荡频率的普遍公式。最后讨论了理想的振荡范围, 认为不论何种振荡器, 其振荡频率愈接近晶体的串联谐振频率, 由于电路元件不稳定引起的频率漂移就愈小。

一 引 言

石英晶体的等效电路如图 1.1 所示, 其等效电阻 R_e 与等效电抗 x_e 随频率变化曲线示于图 1.2。

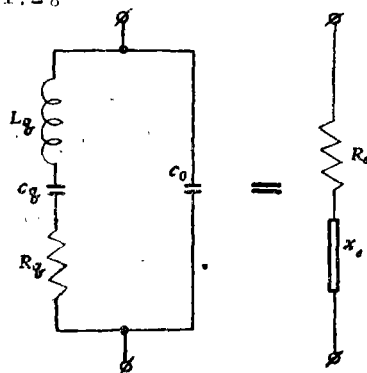


图1.1 石英晶体等效电路。

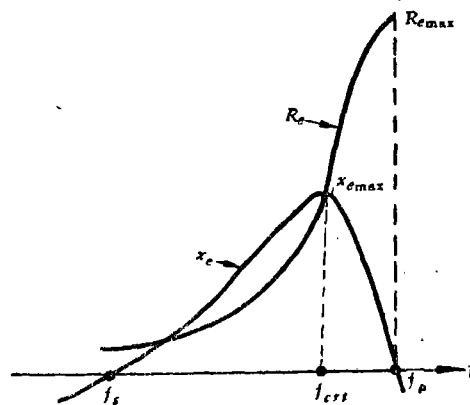


图1.2 石英晶体等效电阻 R_e 及等效电抗 x_e 随频率变化曲线。

石英晶体有两个谐振频率。一是串联谐振频率 f_s , 基本上仅由本身参数决定; 另一个是并联谐振频率 f_p , 其数值要随并于晶体两端的电容改变, 如管座及接线的分布电容等。将晶体分别置于振荡管的板—栅、栅—阴及板—阴间就形成三种基本振荡电路。如图 1.3 a、b、c 所示。

无论哪种振荡器都由以下两部分组成, 即晶体与振荡电路, 见图 1.4。为了满足振荡条件, 从虚线向两端看进去的阻抗大小应相等, 而符号则相反

* 1962年4月收稿。

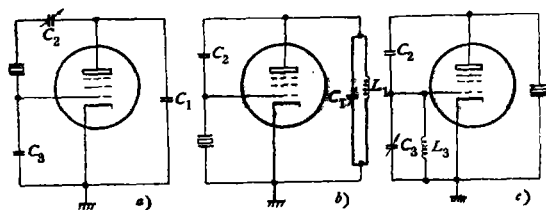


图1.3 三种基本振荡电路:

a) 板-栅振荡器; b) 栅-阴振荡器; c) 板-阴振荡器。

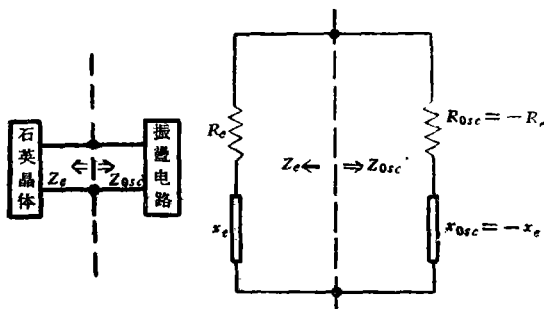


图1.4 振荡器由两个二端网络组成。

$$Z_c = -Z_{osc} \quad (1.1)$$

$$R_c = -R_{osc} \quad (1.2)$$

$$x_c = -x_{osc} = \frac{1}{\omega C_{0sc}} \quad (1.3)$$

晶体的等效电抗 x_c 及振荡电路的等效电抗 $-x_{osc}$ 都是频率的函数。如果定义 $x_c = x_{cmax}$ 时的频率为晶体的临界频率 f_{cr} , 则用图解法求出晶体的等效电抗 $x_c = -x_{osc}$ 时的频率有两个: 一个是低于临界频率的 f_a , 另一个是高于临界频率的 f_b 。

f_a 和 f_b 都满足振荡的相位平衡条件式(1.3), 且当振荡电路的等效电抗 $-x_{osc}$ 数值改变时, f_a 和 f_b 的数值也要随之改变, 见图1.5。显然, 实际上振荡频率只可能是它们中的一个, 因为 f_a 、 f_b 虽然都满足相位平衡条件, 但不一定都能满足振荡的幅度平衡条件, 或者其中之一更容易满足振幅平衡条件。下面先用解析的方法将满足相位平衡条件的两个频率求出, 再将对应于这两个频率的晶体等效电阻及等效电抗求出, 分别代入各基本电路的振幅平衡条件中, 并加以比较, 最容易满足振幅平衡条件的, 就是振荡频率了。

二 满足相位平衡条件的两个频率

前面提到晶体在两个频率 (f_a 、 f_b) 上都能满足振荡的相位平衡条件, 下面就用数学式子将它们解出。

由于 f_b 靠近晶体的并联谐振频率 f_p , 而 f_a 则在晶体的串联谐振频率 f_s 与临界频率 f_{cr} 之间, 故在求解 f_a 、 f_b 时, 一定得采用未经简化的公式。

石英晶体等效电抗公式^[1]为

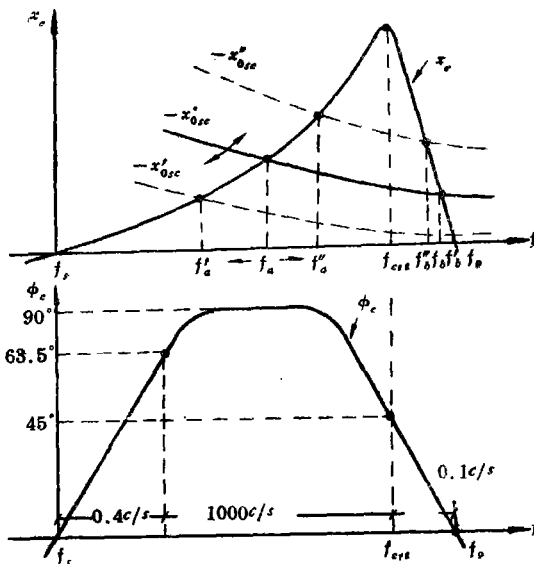


图1.5 振荡器在两个频率上都能满足相位平衡条件。

注: (1) 此图为了便于说明问题, 将曲线变化急剧之处加以放大了。

(2) 下图的晶体相角曲线的具体数字是当晶体参数为:

$Q_q = 5 \times 10^6$, $f_s = 1 \times 10^6 \text{ c/s}$, $C_q = 15 \times 10^{-3} \text{ pf}$, $C_0 = 15 \text{ pf}$ 时, 利用公式

$$\text{tg} \phi_c = \frac{-1}{PQ_q} \left[1 + 4Q_q^2 \left(\frac{\Delta f_p}{f_p} \right)^2 + 2Q_q^2 P \frac{\Delta f_p}{f_p} \right]$$

$$\text{及} \text{tg} \phi_c = \frac{-1}{PQ_q} \left[1 + 4Q_q^2 \left(\frac{\Delta f_s}{f_s} \right)^2 - 2Q_q^2 P \frac{\Delta f_s}{f_s} \right]$$

计算出来的。

(3) 63.5°是根据最大相角90°乘0.707得来的。

$$x_e = \frac{-P\rho_q \left[1 + 4Q_q^2 \left(\frac{\Delta f_p}{f_p} + \frac{P}{2} \right) \frac{\Delta f_p}{f_p} \right]}{1 + 4Q_q^2 \left(\frac{\Delta f_p}{f_p} \right)^2} \quad (2.1)$$

式中

$$f_p = \frac{1}{2\pi\sqrt{L_q C_q}} \sqrt{1 + \frac{C_q}{C_0}} \quad (2.2)$$

$$\Delta f_p = f_{osc} - f_p \quad (2.3)$$

$$P = \frac{C_q}{C_0} \quad (2.4)$$

$$\rho_q = \frac{1}{\omega C_q} \quad (2.5)$$

$$Q_q = \frac{1}{\omega C_q R_q} \quad (2.6)$$

通常晶体在振荡器中为一感抗, 故振荡电路的等效电抗 x_{osc} 应该是个容抗

$$x_{osc} = \frac{-1}{\omega C_{osc}} \quad (2.7)$$

将式 (2.1) 及 (2.7) 代入相位平衡条件 (1.3) 中得

$$\frac{-P\rho_q \left[1 + 4Q_q^2 \left(\frac{\Delta f_p}{f_p} + \frac{P}{2} \right) \frac{\Delta f_p}{f_p} \right]}{1 + 4Q_q^2 \left(\frac{\Delta f_p}{f_p} \right)^2} = \frac{1}{\omega C_{osc}}$$

移项整理后得

$$\left(\frac{\Delta f_p}{f_p} \right)^2 + \frac{P}{2} \frac{C_{osc}}{C_0 + C_{osc}} \frac{\Delta f_p}{f_p} + \frac{1}{4Q_q^2} = 0$$

最后解出

$$\frac{\Delta f_{pa}}{f_p} = -\frac{P}{2} \left(\frac{C_{osc}}{C_0 + C_{osc}} \right) + \frac{1}{2PQ_q^2} \left(1 + \frac{C_0}{C_{osc}} \right) \quad (2.8)$$

式中

$$\Delta f_{pa} = f_a - f_p \quad (2.9)$$

$$\frac{\Delta f_{pb}}{f_p} = -\frac{1}{2PQ_q^2} \left(1 + \frac{C_0}{C_{osc}} \right) \quad (2.10)$$

式中

$$\Delta f_{pb} = f_b - f_p \quad (2.11)$$

由于 f_a 在晶体的串联谐振频率 f_s 与临界频率 f_{cr} 之间, 为了使用方便, 将式 (2.8) 用对 f_s 的相对离谐表示

$$\frac{\Delta f_{sa}}{f_s} = \frac{P}{2} + \frac{\Delta f_{pa}}{f_p} = \frac{C_q}{2(C_0 + C_{osc})} + \frac{1}{2PQ_q^2} \left(1 + \frac{C_0}{C_{osc}} \right) \quad (2.12)$$

$$\Delta f_{sa} = f_a - f_s \quad (2.13)$$

式中

$$f_s = \frac{1}{2\pi\sqrt{L_q C_q}} \quad (2.14)$$

三 对应于 f_a 、 f_b 的等效电阻及等效电抗

1 晶体的等效电阻

晶体的等效电阻 R_e 是频率的函数, 为了求出频率为 f_a 及 f_b 时的等效电阻 R_{ea} 及 R_{eb} , 也只能使用未经简化的公式^[1]

$$R_e = \frac{P^2 Q_q \rho_q}{1 + 4Q_q^2 \left(\frac{\Delta f_p}{f_p} \right)^2} \quad (3.1)$$

分别将式 (2.8) (2.10) 的两个频率代入上式, 且当

$$PQ_q \gg 1 + \frac{C_0}{C_{0sc}} \quad (3.2)$$

时, 对应于 f_a 、 f_b 的等效电阻 R_{ea} 及 R_{eb} 等于

$$R_{ea} = R_q \left(1 + \frac{C_0}{C_{0sc}} \right)^2 \quad (3.3)$$

$$R_{eb} = \frac{1}{(\omega C_0)^2 R_q} = R_{\max} \quad (3.4)$$

在一般情况下, $R_{\max} \gg R_q \left(1 + \frac{C_0}{C_{0sc}} \right)^2$ 故

$$\frac{R_{ea}}{R_{eb}} \ll 1 \quad (3.5)$$

2 晶体的等效电抗

根据振荡器的相位平衡条件得

$$x_{ea} = \frac{1}{\omega_a C_{0sc}} \quad (3.6)$$

$$x_{eb} = \frac{1}{\omega_b C_{0sc}} \quad (3.7)$$

因 $\omega_a = \omega_b$ 所以

$$x_{ea} \ll x_{eb} = \frac{1}{\omega C_{0sc}} \quad (3.8)$$

四 石英晶体的临界频率

关于临界频率的定义已在引言中提过了, 这里准备定量的求出临界频率的数值。

对式 (2.1) 求导, 并令其一阶导数等于零, 即得晶体的临界频率

$$\frac{\Delta f_{crt}}{f_p} = -\frac{1}{2Q_q} \quad (4.1)$$

$$\text{式中} \quad \Delta f_{crt} = f_{crt} - f_p \quad (4.2)$$

例如: 某晶体的 $Q_q = 5 \times 10^6$, $f_p = 1 \times 10^6 \text{ c/s}$, 则临界频率与并联谐振频率之差频 Δf_{crt} 只有十分之一周。

下面再将对应于临界频率的晶体等效电阻求出。只要将式 (4.1) 代入式 (3.1) 即得

$$R_{crt} = \frac{1}{2} R_{\max} \quad (4.3)$$

五 三种基本振荡电路的振荡范围

前面几节已将 f_a 、 f_b 的数值及对应于此二频率的晶体等效电阻 R_{ea} 、 R_{eb} 和等效电抗 x_{ea} 、 x_{eb} 求出。本节先将各基本振荡电路的振幅平衡条件求出, 再把上述结果代入振幅平衡条件中进行比较, 从而得出各基本振荡电路的振荡频率范围。

近来几乎所有的高稳定石英晶体振荡电路都装置了自动增益控制电路, 维持晶体电流在 50~100 微安以下。由于振幅很小, 没有栅流产生, 因此在分析振荡条件时一律采用线性电路的分析方法。

1 板一栅振荡器的振荡频率

板一栅振荡器 (见图 1.3 a) 的等效电路示于图 5.1。

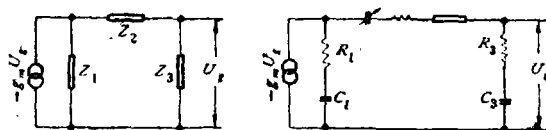


图5.1 板-栅振荡器等效电路图。

振荡电路的全平衡方程式^[2]

$$g_m Z_1 Z_3 + Z_1 + Z_2 + Z_3 = 0 \quad (5.1)$$

$$\text{式中} \quad Z_1 = R_1 - j \frac{1}{\omega C_1} \quad (5.2)$$

$$Z_2 = R_2 + R_e + jx_e - j \frac{1}{\omega C_2} \quad (5.3)$$

$$Z_3 = R_3 - j \frac{1}{\omega C_3} \quad (5.4)$$

g_m 为振荡跨导, R_1, R_2, R_3 是各支路损耗电阻。如电容器的介质损耗, 接线电阻, 电子管输出电阻, 以及分别并联在电容 C_1, C_3 上的电阻 R_d, R_e 等。将 Z_1, Z_2 和 Z_3 代入式 (5.1), 整理后得振荡器的全平衡方程式

$$jx_e - j \left[(1 + g_m R_3) \frac{1}{\omega C_1} + \frac{1}{\omega C_2} + (1 + g_m R_1) \frac{1}{\omega C_3} \right] + R_e + R_1 + R_2 + R_3 + g_m R_1 R_3 - \frac{g_m}{\omega^2 C_1 C_3} = 0 \quad (5.5)$$

式 (5.5) 的实部即为振幅平衡条件

$$g_m \left(R_1 R_3 - \frac{1}{\omega^2 C_1 C_3} \right) + R_1 + R_2 + R_3 + R_e = 0 \quad (5.6)$$

移项得振荡跨导

$$g_m = \frac{\omega^2 C_1 C_3 (R_1 + R_2 + R_3 + R_e)}{1 - \omega^2 C_1 C_3 R_1 R_3} \quad (5.7)$$

分别将式 (3.3) (3.4) 代入上式, 即得振荡频率分别为 f_a 及 f_b 时要求的跨导值 g_{ma} 和 g_{mb}

$$g_{ma} = \frac{\omega^2 C_1 C_3 \left[R_1 + R_2 + R_3 + R_e \left(1 + \frac{C_0}{C_{0sc}} \right)^2 \right]}{1 - \omega^2 C_1 C_3 R_1 R_3} \quad (5.8)$$

$$g_{mb} = \frac{\omega^2 C_1 C_3 (R_1 + R_2 + R_3 + R_{e\max})}{1 - \omega^2 C_1 C_3 R_1 R_3} \quad (5.9)$$

在一般情况下

$$R_{e\max} \gg R_e \left(1 + \frac{C_0}{C_{0sc}} \right)^2$$

$$R_{e\max} \gg R_1 + R_2 + R_3$$

故

$$\frac{g_{ma}}{g_{mb}} = \frac{R_e \left(1 + \frac{C_0}{C_{0sc}} \right)^2 + R_1 + R_2 + R_3}{R_{e\max} + R_1 + R_2 + R_3} \ll 1 \quad (5.10)$$

从上式中可看出, 振荡频率为 f_a 时要求的振荡跨导 g_{ma} 比振荡频率为 f_b 时要求的跨导 g_{mb} 小得多, 也就是说振荡频率应为 f_a 而非 f_b 。

根据式 (5.5) 的虚部得

$$x_e - \frac{1}{\omega C_1} (1 + g_m R_3) - \frac{1}{\omega C_2} - \frac{1}{\omega C_3} (1 + g_m R_1) = 0 \quad (5.11)$$

将式 (1.3) 的相位平衡条件代入, 即可求出板-栅振荡电路的等效输入电容

$$\frac{1}{C_{0sc}} = \frac{1}{C_1} (1 + g_m R_3) + \frac{1}{C_2} + \frac{1}{C_3} (1 + g_m R_1) \quad (5.12)$$

当

$$g_m R_3 \ll 1 \text{ 及 } g_m R_1 \ll 1 \text{ 时}$$

$$\frac{1}{C_{0sc}} \approx \frac{1}{C_1} + \frac{1}{C_2} + \frac{1}{C_3} \quad (5.13)$$

将式 (5.13) 代入式 (2.12) 即可将 f_a 求出。

2 栅—阴振荡器的振荡频率

栅—阴振荡器（见图 1.3 b）的等效电路示于图（5.2）中。振荡电路的全平衡方程式同（5.1），只是 Z_1 、 Z_2 及 Z_3 的具体内容不同。这里

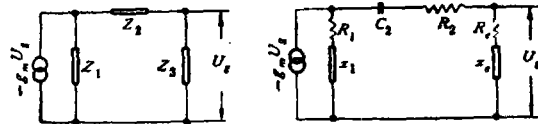


图5.2 栅—阴振荡器等效电路图。

$$Z_1 = R_1 + jx_1 \quad (5.14)$$

$$R_1 = \frac{Q_1 \rho_1}{1 + 4 Q_1^2 \left(\frac{\Delta f_1}{f_1} \right)^2} \quad (5.14a)$$

$$x_1 = \frac{-\rho_1 \left(1 + 2 Q_1^2 \frac{\Delta f_1}{f_1} \right)}{1 + 4 Q_1^2 \left(\frac{\Delta f_1}{f_1} \right)^2} \quad (5.14b)$$

$$f_1 = \frac{1}{2\pi\sqrt{L_1 C_1}} \quad (5.14c)$$

$$\Delta f_1 = f_{osc} - f_1 \quad (5.14d)$$

Q_1 ——板极槽路的品质因素， ρ_1 ——板极槽路的特性阻抗。

$$Z_2 = R_2 - jx_2 \quad (5.15)$$

$$R_2 = \frac{\text{tg } \delta_2}{\omega C_2} \quad (5.15a)$$

$$x_2 = \frac{1}{\omega C_2} \quad (5.15b)$$

$$Z_3 = R_e + jx_e \quad (5.16)$$

将式（5.14）（5.15）及（5.16）代入式（5.1）得出栅—阴振荡电路的全平衡方程式

$$g_m(R_1 + jx_1)(R_e + jx_e) + R_1 + R_2 + R_e + j(x_1 + x_e - x_2) = 0 \quad (5.17)$$

式（5.17）的实部

$$g_m R_1 R_e - g_m x_1 x_e + R_1 + R_2 + R_e = 0 \quad (5.18)$$

移项得

$$g_m = \frac{R_1 + R_2 + R_e}{x_1 x_e - R_1 R_e} \quad (5.19)$$

将频率为 f_a 及 f_b 时要求的振荡跨导 g_{ma} 与 g_{mb} 相比得

$$\frac{g_{ma}}{g_{mb}} = \frac{R_{ea} + R_1 + R_2}{R_{eb} + R_1 + R_2} \cdot \frac{x_{eb} x_{a1} - R_{eb} R_1}{x_{ea} x_{b1} - R_{ea} R_1} \quad (5.20)$$

由式（3.5）可知 $R_{ea} \ll R_{eb}$ ，在一般情况下 $R_{eb} \gg R_1 + R_2$ ，故式（5.20）的前项

$$\frac{R_{ea} + R_1 + R_2}{R_{eb} + R_1 + R_2} \ll 1$$

由式（5.19）可看出 $x_1 x_e - R_1 R_e$ 必须大于零，否则将不能满足振幅平衡条件。式（3.8）告诉我们 $x_{ea} \doteq x_{eb}$ ，所以式（5.20）的后项

$$\frac{x_{eb} x_{a1} - R_{eb} R_1}{x_{ea} x_{b1} - R_{ea} R_1} < 1$$

故

$$\frac{g_{ma}}{g_{mb}} \ll 1 \quad (5.21)$$

因此栅—阴振荡器的振荡频率也是 f_a 而不是 f_b 。

根据式 (5.17) 的虚部得

$$x_e = \frac{x_2 - x_1(1 + g_m R_e)}{1 + g_m R_1} \quad (5.22)$$

将式 (1.3) 及 (5.15 b) 代入上式得出栅—阴振荡电路的等效电容

$$C_{osc} = \frac{C_2(1 + g_m R_1)}{1 - \omega C_1 x_1(1 + g_m R_e)} \quad (5.23)$$

和板—栅振荡器一样, 只要将 C_{osc} 的数值求出后代到 (2.12) 式内, 即可解出栅—阴振荡器的振荡频率 f_o 。

3 板—阴振荡器的振荡频率

板—阴振荡器的分析方法与栅—阴振荡器完全相同, 只是把 Z_1 看成晶体阻抗, 而 Z_2 则看成是 LC 槽路阻抗。得出的结论与栅—阴振荡器相同, 这里就不再仔细分析了。

4 小 结

三种基本振荡电路的振荡频率都是 f_o 而不是 f_b , 当振荡电路等效电容 C_{osc} 改变时, f_o 可在晶体的串联谐振频率 f_s 与临界频率 f_{cr} 间改变, 因此三种基本振荡电路的振荡范围是

$$f_s < f_{osc} < \left(1 - \frac{1}{2Q_q}\right)f_p \quad (5.24)$$

六 实 验

1 原 理

当振荡电路的等效电容 C_{osc} 改变时, 利用图 6.1 的频率比较设备, 读出相应的频率变化。再与用式 (2.12) 计算出的理论值进行比较。

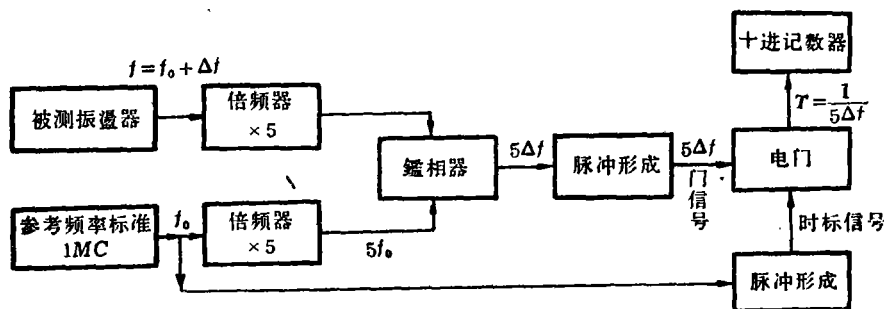


图6.1 频率比较设备方框图。

2 板—栅振荡器实验

实验用板—栅振荡电路见图 6.2。

本实验中, C_{osc} 的数值是根据不同的 C_1 、 C_2 和 C_3 的组合, 用式 (5.13) 计算出来的。实验数据见表 1, 实验值与理论值的比较示于图 6.3 的曲线中。

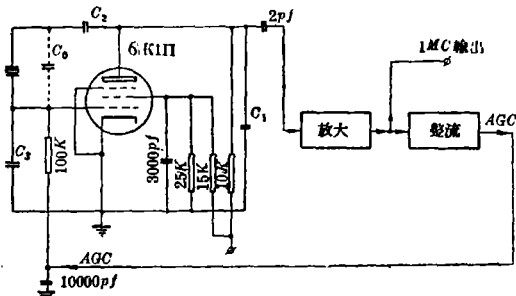


图6.2 晶体放在板—栅间振荡电路图。

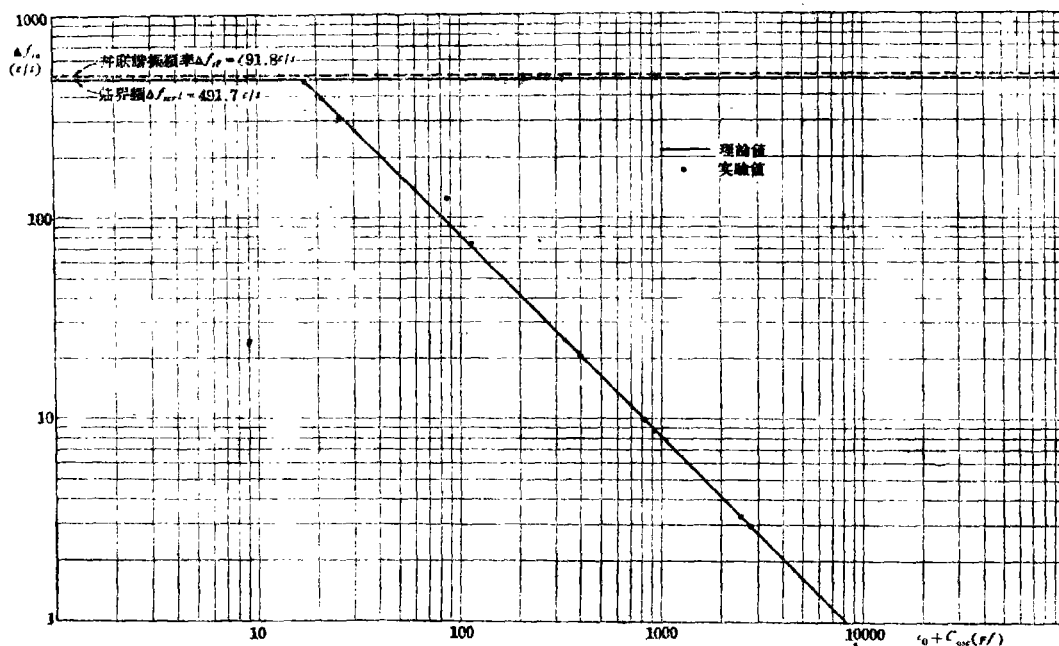


图 6.3

表 1 板-栅振荡器振荡范围实验数据

| 石英晶体参数 | | | $C_q=16.8 \times 10^{-2} pf$ | $C_0=17 pf$ | $f_s=999905 c/s$ | |
|---------------|---------------|---------------|---|-------------------------|--|-----------------------------------|
| C_1 (pf) | C_2 (pf) | C_3 (pf) | $C_{0sc} = \frac{1}{\frac{1}{C_1} + \frac{1}{C_2} + \frac{1}{C_3}}$ (pf) | $C_{0sc} + C_0$ (pf) | 理 論 值 $\Delta f_{sa} = \frac{C_q f_s}{2(C_{0sc} + C_0)}$ (c/s) | 实 驗 值 Δf_{sa} (c/s) |
| 10400 | ∞ | 3900 | 2800 | 2817 | 2.99 | 2.99 |
| 6800 | ∞ | 3900 | 2480 | 2497 | 3.37 | 3.33 |
| 3600 | ∞ | 1200 | 900 | 917 | 9.15 | 8.78 |
| 2400 | ∞ | 1200 | 800 | 817 | 10.3 | 10.03 |
| 10400 | 600 | 1200 | 385 | 402 | 20.9 | 20.63 |
| 3600 | 110 | 1200 | 98 | 115 | 73.0 | 73.60 |
| 3600 | 55 | 1200 | 52 | 89 | 94.3 | 122.8 |
| 97 | 10 | 300 | 8.8 | 25.8 | 320 | 308.8 |
| 28.8 | 5 | 300 | 4.25 | 21.3 | 394 | 389.0 |
| 28.8 | 0.4 | 300 | 0.38 | 17.4 | 483 | 475.0 |

3 栅-阴振荡器实验

实验用栅-阴振荡器电路见图 6.4。

栅-阴振荡电路的等效电容 C_{0se} 可由式 (5.23) 算出。在实验过程中保持 C_0 不变, 在三种不同的 C_2 数值下改变 C_1 , 使振荡电路具有不同的等效电容 C_{0se} , 并记录相应的振荡频率变化。实验数据见表 2。由

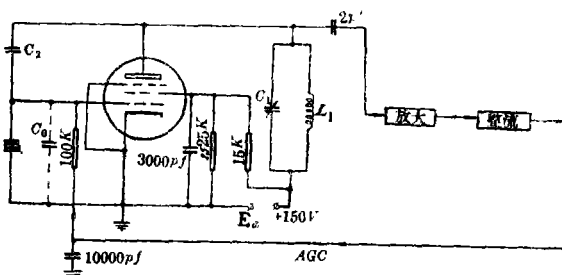


图 6.4 晶体放在栅-阴间振荡电路图。

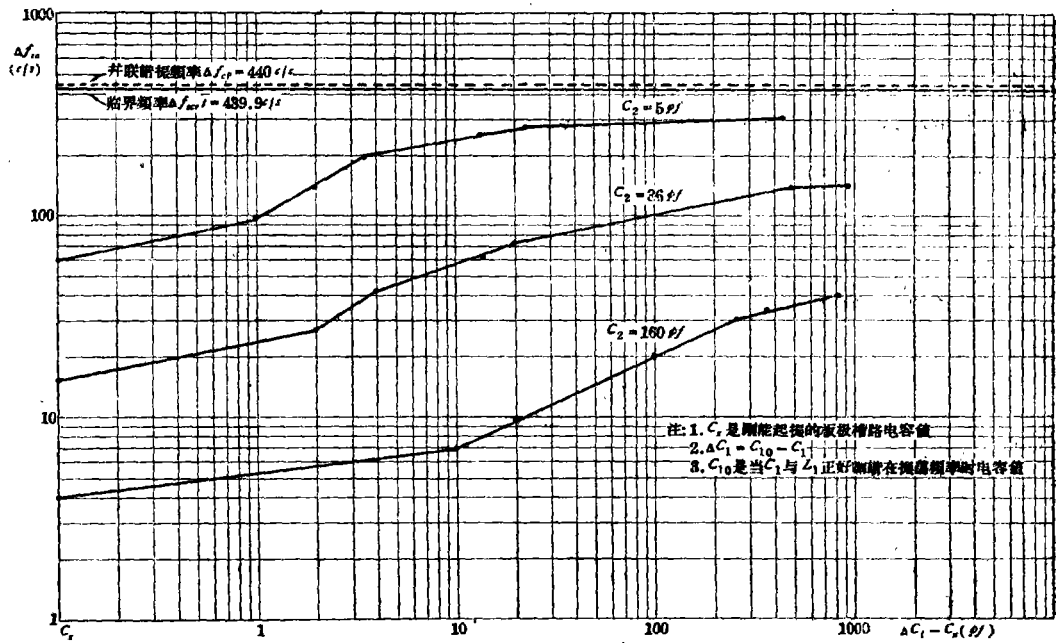


图 6.5

于板极槽路的 Q 值很低, R_1 及 x_1 的精确值很难测出, C_{0sc} 也就不易算出, 故这里就不再与理论值进行比较了, 但这并不影响我们要证明的问题。在图 6.5 中我们可看到, 当 C_1 、 C_2 改变时 (即 C_{0sc} 改变时), 振荡频率也在很大的范围内变动, 从比串联谐振频率只高 4 周的地方一直变到比串联谐振频率高 301.5 周的地方, 并未发现高于临界频率的振荡。

表 2 槽—阴振荡器振荡范围实验数据

| 石英晶体参数 | | | $C_q=16.8pf$ | | | $C_0=19pf$ | | | $f_s=999995c/s$ | | |
|--------------|-----------------|-------|--------------|-----------------|-------|--------------|-----------------|-------|-----------------|--|--|
| $C_2=160pf$ | | | $C_2=36pf$ | | | $C_2=5pf$ | | | | | |
| ΔC_1 | Δf_{sa} | E_g | ΔC_1 | Δf_{sa} | E_g | ΔC_1 | Δf_{sa} | E_g | | | |
| (pf) | (c/s) | (V) | (pf) | (c/s) | (V) | (pf) | (c/s) | (V) | | | |
| C_x | 4.0 | -0.9 | C'_x | 15.3 | -1.0 | C''_x | 59.5 | -0.9 | | | |
| C_x+10 | 7.0 | -1.4 | C'_x+2 | 26.8 | -1.6 | C''_x+1 | 94.5 | -1.5 | | | |
| C_x+20 | 9.3 | -1.6 | C'_x+4 | 41.5 | -2.0 | C''_x+2 | 138.5 | -2.0 | | | |
| C_x+100 | 20.2 | -2.3 | C'_x+14 | 62 | -2.3 | $C''_x+3.5$ | 190.5 | -2.5 | | | |
| C_x+260 | 30.5 | -2.8 | C'_x+20 | 72 | -2.4 | $C''_x+13.5$ | 245.5 | -3.0 | | | |
| C_x+370 | 33.7 | -3.1 | C'_x+490 | 137 | -5.6 | C''_x+23 | 266.5 | -3.3 | | | |
| C_x+840 | 40.5 | -6.6 | C'_x+960 | 139 | -3.9 | C''_x+369 | 301.5 | -4.5 | | | |

4 实验结果讨论

i) 从实验中得出板—栅及栅—阴振荡器的振荡频率都处在晶体的串联谐振频率与临界频率之间, 证明前面的分析是正确的。

图 6.3 和图 6.5 的并联谐振频率是根据式 (2.2) 计算出来的。

ii) 图 6.3 中的实验值与理论值非常近似, 由于参考振荡器的稳定度只有 1×10^{-6} , 被

测晶体未置于恒温箱内, 以及所有的电容均未經精密測量, 故在个别点上誤差較大。

七 理想的振蕩範圍

前面已討論过三种基本振蕩电路的振蕩頻率只可能在晶体的串联諧振頻率 f_s 与临界頻率 f_{cr} 之間。本节将研究振蕩頻率在哪一段範圍內, 可使頻率不穩定度减小。

1 振蕩电路中电容数值变化引起的頻率漂移

三种基本振蕩电路的振蕩頻率相对于晶体串联諧振頻率的相对离諧由式 (2.12) 可近似写为

$$\frac{\Delta f_{sa}}{f_s} = \frac{C_q}{2(C_0 + C_{0sc})} \quad (7.1)$$

由于电容 C_0 及 C_{0sc} 不稳定而引起的振蕩頻率漂移

$$\frac{\Delta f_c}{f_s} = \frac{\partial \frac{\Delta f_{sa}}{f_s}}{\partial C_0} \Delta C_0 + \frac{\partial \frac{\Delta f_{sa}}{f_s}}{\partial C_{0sc}} \Delta C_{0sc} = \frac{-C_q}{2(C_0 + C_{0sc})} (\Delta C_0 + \Delta C_{0sc}) \quad (7.2)$$

将式 (7.1) 代入 (7.2) 得

$$\frac{\Delta f_c}{f_s} = - \frac{\Delta f_{sa}}{f_s} \left(\frac{\Delta C_0 + \Delta C_{0sc}}{C_0 + C_{0sc}} \right) \quad (7.3)$$

由上式可見, 当 $\frac{\Delta f_{sa}}{f_s}$ 愈小时 (即振蕩頻率靠近晶体的串联諧振頻率时) 振蕩器由于电容 C_0 及 C_{0sc} 不稳定而引起的頻率漂移就愈小, 但在实际上振蕩頻率不能无限止的靠近晶体的串联諧振頻率, 这是由于下面几种因素的限制。

2 振蕩頻率靠近晶体串联諧振頻率 f_s 的限制因素

i) 振幅平衡条件的限制

由式 (7.1) 看出, 要使 $\frac{\Delta f_{sa}}{f_s}$ 减小就必须加大 $(C_0 + C_{0sc})$ 的数值, 而 $(C_0 + C_{0sc})$ 的最大值与振幅平衡条件有关, 故当振蕩管的跨导和晶体的参数一定时, $\frac{\Delta f_{sa}}{f_s}$ 能达到的最小值也就受到振幅平衡条件的限制。例如板—栅振蕩器 $\frac{\Delta f_{sa}}{f_s}$ 最小值的极限 (見附录) 为

$$\left. \frac{\Delta f_{sa}}{f_s} \right|_{\min} = \frac{1}{Q_q \sqrt{g_m R_q}} \quad (7.4)$$

ii) 晶体頻率制造公差的限制

通常振蕩頻率是事先要求的某一确定值, 只考虑振幅条件时可由式 (7.4) 算出一个最小的 $\frac{\Delta f_{sa}}{f_s}$ 值, 但由于晶体的制造工艺限制, 往往会使頻率制造公差大于这个最小的 $\frac{\Delta f_{sa}}{f_s}$ 值, 为了不使振蕩頻率高于額定值, 就必须降低晶体的串联諧振頻率 f_s 的数值, 留出加工余量, 这样一来 $\frac{\Delta f_{sa}}{f_s}$ 的最小值将比式 (7.4) 計算出的数值大好几倍。所以說降低晶体的頻率制造公差对提高振蕩器的頻率穩定度是大有好处的。

iii) 晶体的陈老与頻率微調度的限制

当晶体陈老时, 振蕩頻率就要向頻率增加的方向漂移, 此外, 为了使振蕩頻率能在一定範圍內进行微調, 都将使 $\frac{\Delta f_{sa}}{f_s}$ 变大, 影响了振蕩頻率的穩定度。

八 結 語

石英晶体的三种基本振荡电路的振荡频率都低于晶体的临界频率,且都可在晶体的串联谐振频率与临界频率间工作。当振荡电路的等效电容 $C_{0sc} \rightarrow \infty$ 时,振荡频率极其接近晶体的串联谐振频率(与 f_s 相差 $\frac{\Delta f_{sa}}{f_s} = \frac{1}{2PQ_q^2}$),但在一般情况下不可能使振荡频率等于或极其接近晶体的并联谐振频率。

理想的振荡范围是靠近晶体串联谐振频率附近的区域,因在此范围内由于电容数值变化引起的振荡频率漂移最小。要使振荡频率靠近晶体的串联谐振频率就应采用高 Q_q 低老化的晶体,并尽量减小晶体的频率制造公差。

感 謝

作者对胡思益同志给予的具体指导以及参与该工作的同志们的关怀表示感谢。

附 录

板一栅振荡器 $\frac{\Delta f_{sa}}{f_s}$ 最小值的极限

板一栅振荡器的振幅平衡条件根据式 (5.8) 可近似写为

$$g_m = \omega^2 C_1 C_3 R_q \left(1 + \frac{C_0}{C_{0sc}} \right)^2 \quad (1)$$

分别令 $C_1 = C_3 = C$, $C_2 = \frac{C}{n}$ 并代入 (5.13) 式中可得

$$\frac{1}{C_{0sc}} = \frac{1}{C_1} + \frac{1}{C_2} + \frac{1}{C_3} = \frac{n+2}{C} \quad (2)$$

移项得

$$C = (n+2)C_{0sc} \quad (3)$$

将式 (3) 代入式 (1) 整理得

$$C_0 + C_{0sc} = \frac{1}{(n+2)\omega} \sqrt{\frac{g_m}{R_q}} \quad (4)$$

式 (4) 代入式 (7.1) 得

$$\frac{\Delta f_{sa}}{f_s} = \frac{n+2}{Q_q \sqrt{g_m R_q}} \quad (5)$$

$$\lim_{n \rightarrow 0} \frac{\Delta f_{sa}}{f_s} = \frac{\Delta f_{sa}}{f_s} \Big|_{\min} = \frac{2}{Q_q \sqrt{g_m R_q}} \quad (6)$$

参 考 文 献

- [1] C. A. 德罗波夫 无线电发送设备 萧而江 田永正译 1956年高教出版社出版 472页
- [2] T. C. Anderson and F. G. Merrill "Crystal-Controlled Primary Frequency Standards Latest Advance for Long-Term Stability" IRE Transactions On Instrumentation September 1960 No. 2 pp. 139

The Oscillating Frequency Range of Quartz Crystal at Basic Oscillator Circuits

C. C. Chu

Abstract

The oscillating frequency range of quartz crystal at basic oscillator circuits is analyzed and the critical frequency is introduced. It is shown that the oscillating frequencies of the three basic oscillator circuits lie between the series resonance and the critical frequencies of the crystal, and generally it cannot be oscillated on the parallel resonance frequency of the crystal. General formulas of the oscillating frequencies of the three basic oscillator circuits and the required transconductance of the tube are given. Finally, the ideal oscillating range is discussed and it is thought that the frequency stability of any types of oscillator increases as the oscillating frequency approaching to the series resonance frequency of the crystal.